

## مطالعه عددی آبرودینامیک شعله در کوره‌های دوار

کارشناسی ارشد، گروه مهندسی مکانیک، دانشگاه تربیت مدرس، تهران، ایران

استاد، گروه مهندسی مکانیک، دانشگاه تربیت مدرس، تهران، ایران

دانشجوی دکتری، گروه مهندسی مکانیک، دانشگاه تربیت مدرس، تهران، ایران

رضا حضرتی

\*کیومرث مظاہری

اسماعیل ابراهیمی فردوبی

### چکیده

عملکرد کوره‌های دوار ساده نبوده و برخی مشکلات به دلیل عدم توجه به هماهنگی و سازگاری میان مشعل و کوره در آن وجود دارد. بر این اساس در کار حاضر به مطالعه رفتار شعله در حضور جریان هوای ثابویه پرداخته شده است. با توجه به نبود داده‌های آزمایشگاهی در زمینه کوره‌های دوار، در گام اول مدل-های مناسب براساس مسئله معیار اعتبارسنجی شده‌اند. سپس شبیه‌سازی کوره دوار با استفاده مدل توپولوژی  $k-e$ -realizable، مدل احتراق واکنش گاه نیمه مخلوط، مدل تابشی P1 با استفاده از نرم‌افزار این فرم انجام گرفته است. همچنین در کار حاضر با افزودن جمله چشم به معادله انرژی قابلیت اعمال تابش و با افزودن جمله چشم به معادله مومنتم قابلیت اعمال شرط مرزی دورانی به حلگر Reacting FOAM اضافه شده است. مطابق نتایج بدست آمده اعمال گرانش در شبیه‌سازی منجر به انحراف شعله به سمت دیواره بالایی کوره می‌شود. همچنین نتایج نشان دهنده اهمیت بالای تابش در شرایط حاکم بر مسئله مورد مطالعه است. بررسی تأثیر میزان هوای اضافی بر روی دمانیز نشان دهنده کاهش دمای کوره و بیشینه دمایی دیواره کوره با افزایش درصد هوای اضافی می‌باشد.

**واژه‌های کلیدی:** کوره دوار، آبرودینامیک شعله، شتاب گرانش، تابش، هوای احتراق.

## Numerical study of flame aerodynamic in rotary kilns

R. Hazrati

K. Mazaheri

E. Ebrahimi Fordoei

Department of Mechanical Engineering, tarbiat modares University, tehran, Iran

Department of Mechanical Engineering, tarbiat modares University, tehran, Iran

Department of Mechanical Engineering, tarbiat modares University, tehran, Iran

### Abstract

Rotary kilns have some applications in industrial due to high production capacity, uniform and extensive combustion. Rotary kiln performance not easy and despite of technology development, the problems exist in the field from combustion them. Reasons of some problems are separate design of burner and kiln and inattention to coordination and harmony between them. According to in the present study, flame behavior has been studied under governed condition on the kiln and secondary air flow. In the first step, suitable methods and models are verified on the basis of benchmark problem due to lack of experimental data. Finally, rotary kiln simulation done with realizable  $k-e$  turbulence model, partially stirred reacting flow combustion model and P1 radiation model. The present simulation done in OpenFOAM open source software by using reactingFOAM solver. Also in the present work, ability of applying radiation model has been created with addition source term to energy equation and ability of applying rotation boundary condition has been created with addition source term to momentum equation. According to obtained results, applying of gravity acceleration leading to deviation of flame to the upper wall. The results show that radiation heat transfer is important in the governing condition on the problem. Finally, effect of excess air studied on the temperature distribution that obtained results show temperature of kiln and wall temperature kiln reduced with increasing of excess air percent in the investigation limit.

**Keywords:** Rotary kiln, Flame aerodynamic, Gravity acceleration, Radiation, Combustion air.

به این اهداف از احتراق استفاده می‌شود.<sup>[۲]</sup> در طراحی فرایند کوره‌های دوار از نقطه نظر مهندسی باید چهار جنبه در نظر گرفته شود که عبارت اند از: انتقال گرما از شعله، جریان مواد در کوره، انتقال جرم گاز- جامد و واکنش (شامل واکنش‌های احتراقی و تغییرات مواد بستر) که در میان این مواد آهنگ انتقال گرما از شعله فاکتور مهم‌تری نسبت به مواد دیگر می‌باشد چرا که تأثیر مهندسی بر عملکرد کوره‌های دوار دارد. آهنگ انتقال گرما موثر از شعله به مواد جامد و الگوی شعله شدیداً وابسته به خواص شعله است که در جای خود تأثیر زیادی در بازی دارد. علاوه بر این، خواصی مانند طول، شکل و شدت عمل شعله نقش تعیین‌کننده‌ای در بهبود بازده عملی کوره دارد. بهینه‌سازی خواص شعله مانند شکل و طول شعله یک موضوع مهمی است که بهشت تحت تأثیر پارامترهای کاری شامل نوع سوخت و نرخ جریان می‌باشد.<sup>[۴]</sup>

عملکرد کوره‌های دوار ساده نبوده و باوجود تکامل تکنولوژی هنوز مشکلاتی در زمینه احتراق آن وجود دارد. دلیل برخی از مشکلاتی که در کوره دوار ایجاد می‌شود طراحی مستقل از هم مشعل و کوره

### ۱- مقدمه

کوره دوار<sup>[۱]</sup> نماینده بخش عظیمی از کوره‌های است که به علت طرفیت تولید بالا احتراق گستردۀ و یکنواخت به طور وسیعی در صنایع پخت مواد معدنی و ذوب فلزات کاربرد دارد.<sup>[۱]</sup> این کوره‌ها نوعی مبادله کن گرمایی هستند که انرژی را از گازهای گرم حاصل از احتراق به مواد بستر منتقل می‌کنند، این انتقال گرما در طول کوره رخ می‌دهد و مواد بستر در طی فرایند انتقال گرما تغییر می‌کند. دوران کوره باعث اختلاط بهتر بین مواد بستر شده که نتیجه آن، توزیع گرما یکنواخت در مواد بستر و در نهایت افزایش کیفیت محصول تولیدی است. کوره‌های دوار برای سه هدف می‌توانند مورد استفاده قرار گیرند: گرمایش، واکنش و خشک کردن مواد جامد و در بیشتر موارد برای رسیدن

<sup>1</sup>Rotary Kilns

و سرعت دورانی موردمطالعه قرار دادند. سوخت مورداستفاده در کار آن هازغالستگ بوده بنابراین به دلیل حضور ذرات زغالستگ از دیدگاه اویلری- لاگرانژی استفاده کرده و با به کارگیری مدل توربولانسی k-e استاندارد، مدل احترافی نرخ محدود<sup>۵</sup> و مدل تابشی PI به بررسی برخی از شرایط کاری ممکن برای کوره های دور پرداختند. نتایج این پژوهش نشان داد که با کاهش نسبت جریان چرخشی به جریان محوری در مشعل از ۲ به ۱، طول شعله افزایش یافته و بیشینه دمای شعله کاهش می یابد. همچنین با به کارگیری احترافی اکسیژن غنی بیشینه دمای کوره افزایش یافته و به سمت مشعل جابجا می شود که دلیل آن دسترسی راحت تر به اکسیژن در حالت اکسیژن غنی است [۸]. جیمز و همکاران [۹] در سال ۲۰۱۰ با صرف نظر از اثر گرانش، نیروی شناوری و دوران دیواره بر روی جریان و شعله، به بررسی احتراف در کوره های دور آهک پرداختند. همچنین از تأثیر مواد بستر بر روی هندسه داخلی کوره صرف نظر کرده و با محاسبه رسانای گرمایی اصلاح شده برای دیواره میزان حرارت جذب شده توسعه مواد بستر را معادل سازی کردند. آن ها با استفاده از نرم افزار تجاری فلوئنت و به کارگیری مدل توربولانسی k-e استاندارد، مدل های احترافی نرخ محدود و PDF<sup>۶</sup> برای فاز گازی و مدل تشبعشی DO یک کوره به طول ۵۲ متر و شعاع ۱/۲۲۵ متر شبیه سازی کردند. آن ها با مقایسه نتایج هندسه سه بعدی و متقارن محوری، به دلیل اختلاف ناچیز نتایج در دو حالت و زمان بالای محاسبات برای حالت سه بعدی، کار خود را با فرض تقارن محوری و به صورت دو بعدی ادامه دادند. نتایج حاصل از این پژوهش نشان دهنده دقیق و زمان بالای محاسبات مدل نرخ محدود نسبت به مدل PDF و کاهش بازده کوره با کاهش دمای هوای ثانویه می باشد [۱۰]. الى و همکاران در سال ۲۰۱۳ با شبیه سازی یک کوره دور به طول ۶۰ و شعاع داخلی ۱/۰۶ متر به صورت متقارن محوری و با صرف نظر از دوران، جنس دیواره و مواد بستر، توزیع دمای جریان داخل کوره های دور را موردمطالعه قرار دادند. آن ها بدین در نظر گرفتن احتراف و با استفاده از هوای گرم با دمای مشابه دمای شعله سوخت های مختلف، کوره را به سه بخش پیش گرمایش، احترافی و خنک کاری تقسیم کرده و با تعریف ضرایب انتقال گرمایش مجزا برای هر بخش، تأثیر نوع سوخت و میزان فشار القایی توسط فن خروجی را در کوره های دور بررسی کردند. آن ها به این نتیجه رسیدند که با استفاده از تنظیم فشار در خروجی کوره می توان دمای گاز های خروجی از کوره و در نتیجه مصرف انرژی را کنترل کرد [۱۱]. رحیم پور و همکاران در سال ۲۰۱۴ با استفاده از نرم افزار انسیس سی افایکس<sup>۷</sup> به مطالعه کوره دور ذوب آلومینیم به طول ۵ متر و قطر ۳ متر پرداختند. این کار به صورت سه بعدی، با در نظر گرفتن نیروی شناوری و مواد بستر و با استفاده از مدل توربولانسی k-e، مدل احترافی مفهوم اتلاف گردابه ای<sup>۸</sup> و مدل تابشی DO انجام شده است. هدف این پژوهش بررسی اثر تغییر زاویه مشعل بر روی بهبود کارایی حرارتی کوره بوده است. نتایج کار آن ها نشان می داد که افزایش زاویه مشعل، زمان اقامت گاز های داغ احترافی درون کوره و در نتیجه

می باشد. در بیشتر سیستم های کوره دور طراحی آبرودینامیک تحت کنترل تولید کننده مشعل نبوده و اغلب بدون جدی در نظر گرفتن الگوی جریان توسط طراح کوره انجام می گیرد. معمولاً کل سوخت از مشعل پاشیده می شود. هوای اولیه به عنوان درصدی از هوای استوکیومتری منتشر می شود. هوای اولیه به عنوان درصدی از هوای استوکیومتری موردنیاز برای احتراف تعریف می شود و نقش اصلی آن کنترل نرخ اختلاط سوخت و هوا و کمک به پایداری شعله می باشد. باقیمانده هوای احتراف از طریق هود تأمین می شود و تحت کنترل سازنده مشعل نمی باشد [۵]. با توجه به طراحی جدگانه مشعل و کوره و عدم توجه به هماهنگی و سازگاری میان آن ها لازم است که عملکرد مشعل در حضور جریان ثانویه حاکم بر کوره ارزیابی شود. مسلماً انجام کار تجربی در این زمینه با توجه به حضور هم زمان همه پدیده های حاکم، نتایج کمی بهتری را ارائه می دهد. اما با توجه به ابعاد بزرگ و صنعتی کوره های دور، سختی و هزینه بر بودن کار تجربی در این مورد خاص، لرور شبیه سازی عددی برای پاسخ گویی به سوالات و یافتن شرایط کاری بهینه حس می شود. در ادامه به مورپوژوهش های انجام شده در زمینه کوره های دور با تأکید بر روی شبیه سازی عددی و مباحث مرتبط با بررسی جریان و شعله پرداخته می شود.

الیاسر در رساله دکتری خود در سال ۱۹۹۸، با صرف نظر از تأثیر مواد بستر، دوران و نیروی شناوری و با فرض تقارن حول محور کوره، و با استفاده از مدل توربولانسی k-e استاندارد، مدل احترافی اتلاف گردابه ای<sup>۱</sup> و مدل تابشی PI<sup>۲</sup> جریان و احتراف در کوره دور را موردمطالعه قرار داد. در این پژوهش پس از اعتبارسنجی کد عددی با یک مسئله معیار به بررسی تأثیر نسبت هوای اولیه و هندسه مشعل در یک کوره به طول ۴۰ و قطر داخلی ۲ متر پرداخته شده است. نتایج حاصل از این پژوهش نشان می داد که با افزایش درصد هوای اولیه و به کارگیری مشعل با مونتم جت بالاتر، ناحیه باز چرخشی نزدیک دیواره بزرگتر و ماقزیم دمای دیواره کاهش می یابد [۶]. مستر اکوس و همکاران در سال ۱۹۹۹ با هدف ارائه مدلی جامع برای یافتن شار گرمایی از شعله به کلینکر<sup>۳</sup> (ماده اولیه تولید سیمان) و تلفات گرمایی در کوره های سیمان و با استفاده از یک کد عددی تجاری متقاضی موری برای فاز گازی به مطالعه کوره های دور پرداختند. در این کد معادلات بقای گونه و انرژی شامل واکنش های شبیه سازی برای کلینکر نزیر حل شده اند. در این پژوهش همچنین از مدل توربولانسی k-e استاندارد و مدل تابشی مونت کارلو<sup>۴</sup> استفاده شده است. نتایج حاکی از آن است که بیشینه دمای پوسته خارجی در قسمت تشکیل شعله واقع گردیده است و ماقزیم اصلی انتقال گرمایی بین گاز و دیوارهها ماقزیم تابشی بوده و اتلاف گرمایی از طریق عایق دیوارهها به محیط اطراف حدود ۱۰٪ از گرمایی ورودی بوده و بیش از ۴۰٪ گرمایی برای تشکیل کلینکر مورداستفاده قرار گرفته است [۷]. موجود مدار و همکاران در سال ۲۰۰۸ با استفاده از نرم افزار تجاری فلوئنت<sup>۵</sup>، کوره دوری به طول ۵۰ و قطر داخلی ۳/۴ متر و با در نظر گرفتن مواد بستر

<sup>۵</sup>Finite rate<sup>۶</sup>Probability Distribution Function<sup>۷</sup>Ansys CFX<sup>۸</sup>Eddy Dissipation Concept<sup>۱</sup>Eddy Dissipation Model<sup>۲</sup>Clinker<sup>۳</sup>Monte Carlo<sup>۴</sup>Fluent

آزمایشگاهی زیادی در این زمینه وجود ندارد. بر این اساس لازم است شرایط حل مسئله را با یک مسئله معیار در مقیاس آزمایشگاهی که دارای داده‌های تجربی مناسب بوده و به لحاظ فیزیکی رفتار مشابهی داشته باشد، صحبت‌سنجی کرده و در نهایت شبیه‌سازی کوره براساس آن انجام شود. در ادامه مسئله معیار کوره دوار مورد مطالعه در کار حاضر معرفی می‌گردد.

## ۱-۲- مسئله معیار

نکته اساسی در انتخاب مسئله معیار برای شبیه‌سازی، تشابه فیزیک جریان و پدیده‌های حاکم بر مسئله اصلی و مسئله معیار است. بر این اساس دلایل انتخاب مسئله معیار حاضر، دارا بودن شعله غیرپیش‌آمیخته توربولانسی، استفاده از سوخت متان و دارا بودن محافظه احتراق افقی و استوانه‌ای شکل است که کاملاً منطبق بر فیزیک کوره‌های دوار می‌باشد.

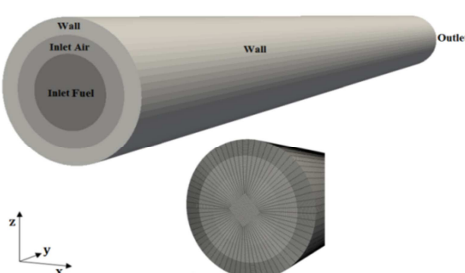
هندرسون مورد مطالعه در این بخش یک محافظه احتراق افقی به طول ۱۰۰ و شعاع ۶/۱۱۵ سانتی‌متر با سوخت متان و شعله غیر پیش‌آمیخته توربولانسی است که مشخصات هندسی و جریان آن در جدول ۱ آورده شده است. با توجه به پیکربندی تجهیزات آزمایشگاهی [۱۴] و برای اطمینان از درستی شرایط مرزی مورد استفاده، در خروجی کوره دامنه محاسباتی به اندازه Rfuel ۹x اضافه در نظر گرفته شده است. در نتیجه طول دامنه محاسباتی برابر ۱۴۲/۱۶۵ سانتی‌متر می‌شود. ابعاد هندسی مسئله مورد مطالعه در شکل ۱ نشان داده شده است. در بخش ورودی و بالادست جریان نیز پروفیل سرعت به صورت سهمی و حاصل از دامنه محاسباتی اضافیه اندازه Rfuel اعمال شده است. دیواره محافظه احتراق عایق بوده و ضخامت دیواره در این بررسی اعمال نشده است. فشار در خروجی محافظه احتراق برابر ۳/۸ اتمسفر بوده و شدت توربولانسی برای هر دو ورودی ۱۰ در نظر گرفته شده است [۱۵]. برای محاسبه شرایط مرزی مربوط به k و ε در ورودی‌ها از رابطه (۱) برای شدت توربولانسی و از رابطه (۲) برای طول اختلاطی ورودی‌ها استفاده شده است. برای کاهش تعداد سلول‌های محاسباتی و در نهایت کاهش زمان حل نیز، در نزدیک دیواره‌ها از تابع دیواره استفاده شده است.

$$I = 0.16 \text{ Re}_{d_h}^{-\frac{1}{8}} \quad (1)$$

$$L_{mix} = 0.07 d_h \quad (2)$$

جدول ۱- شرایط مرزی مسئله معیار

(K) دما	(m/s) سرعت محوری	(cm) شعاع	ورودی
300	0.9287	$R_{fuel} = 3.157$	سوخت
750	20.63	$R_{air} = 4.685$	هوای



نرخ تهییه مذاب را افزایش می‌دهد اما به دلیل نزدیک شدن شعله به بدن کوره، دمای دیواره کوره بالا رفته و با محدودیت مواجه می‌شود [۱۲]. الاتار و همکاران در سال ۲۰۱۴ با استفاده از نرم‌افزار تجاری فلوئنت شعله غیر پیش‌آمیخته محصور را درون کوره دوار، برای سوختهای گازی مختلف مطالعه کردند. هدف از این مطالعه بررسی تأثیر شرایط کاری مختلف بر روی توزیع دمایی کوره بود. آن‌ها در کار خود با فرض جریان پایا، غیرقابل تراکم و متقارن محوری، دیواره‌های عایق و بدون در نظر گرفتن جنس دیواره و با صرف نظر از دوران، کوره-ای به طول ۲۰ و شعاع ۱/۳ متر را شبیه‌سازی کردند. در این پژوهش از مدل توربولانسی k-ε realizable مدل احترافي PDF و مدل تابشی k-PI استفاده شده است. نتایج آن‌ها نشان داد که با افزایش میزان هوای اضافی، طول و بیشینه دمای شعله کاهش می‌یابد. آن‌ها همچنین عملکرد سه سوخت متان، کربن مونوکسید و بیوگاز<sup>۱</sup> (ترکیبی از متان و کربن دی‌اکسید) را بررسی کردند. نتایج نشان داد که کربن مونوکسید در اثری بالاترین بیشینه دمایی بوده که محل مقدار بیشینه آن نزدیک ورودی قرار داشت. همچنین بیشینه دمایی متان بالاتر از بیوگاز بوده و مقدار بیشینه برای متان در دوربین فاصله از ورودی قرار داشت [۱۳]. الاتار و همکاران در کار دیگر خود در سال ۲۰۱۶ با استفاده از نرم‌افزار تجاری فلوئنت به مطالعه پارامترهای تأثیرگذار بر روی جریان و نقاط داغ دیواره پرداختند. در این کار با صرف نظر از دوران، جنس دیواره و مواد بستر یک قطاع ۴۵ درجه از کوره‌ای به طول ۴۰ و قطر ۴ متر به صورت متقارن محوری بررسی شد. آن‌ها در این شبیه‌سازی با استفاده از مدل توربولانسی k-ε realizable مدل احترافي PDF و مدل تشعشعی k-PI تأثیر نسبت هوای اولیه، هندسه و توان مشعل را بر روی دمای پیک شعله، شار گرمایی تابشی از شعله و دیواره بررسی کردند. نتایج بدست آمده نشان‌دهنده آن بود که آثودینامیک شعله و انتقال گرمای درون کوره بهشت ت تحت تأثیر نسبت هوای اولیه، هندسه و توان مشعل بوده و با به کارگیری مونتمت جت بالاتر، نسبت هوای اولیه پایین‌تر و مشعل با توان بالاتر می‌توان به پیک دمایی و انتقال حرارت بالاتری از شعله دست یافت. همچنین اندازه و موقعیت دمای پیک دیواره وابسته به آثودینامیک شعله بوده و با افزایش توان مشعل و مونتمت جت، دمای نقاط داغ دیواره افزایش می‌یابد [۱۴].

با توجه به اهمیت فرآیند احتراق در کوره‌های دوار و تأثیر پارامترهای مختلف بر روی آن، هدف از شبیه‌سازی عددی در تحقیق حاضر، بررسی الگوی جریانی حاکم بر کوره دوار تحت شرایط کاری مختلف و بررسی تأثیر آن‌ها بر روی رفتار شعله می‌باشد. بدین منظور تأثیر اعمال شتاب گرانشی، مدل تابشی، دوران و درصد هوای اضافی مورد مطالعه قرار گرفته است.

## ۲- مشخصات و شرایط مرزی

در کارهای عددی یکی از راههای اطمینان از صحبت شبیه‌سازی و رفتار حلگر مورد استفاده مقایسه نتایج حل عددی با داده‌های تجربی می‌باشد. اما با توجه به اینکه کوره‌های دوار در ابعاد بزرگ و صنعتی هستند و انجام کار تجربی بر روی آن‌ها سخت است، بنابراین داده‌های

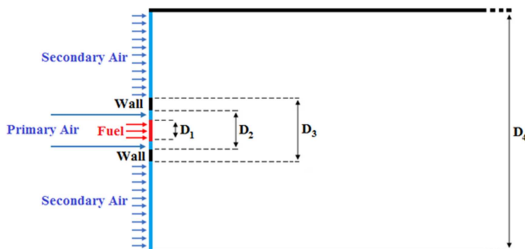
<sup>۱</sup>Biogas

شکل ۱- هندسه مسئله معیار

## ۲-۲- کوره دوار

در کار حاضر با توجه به ابعاد کلی کوره‌های دوار، یک کوره به طول ۲۰ و قطر ۲ متر جهت شبیه‌سازی انتخاب شده است. لازم به ذکر است نسبت طول به قطر در کوره‌های دوار ۱۰ الی ۴۰ می‌باشد [۱۶]. پس از تعیین ابعاد کوره، در اولین گام لازم است که سرعت سوخت ورودی تعیین گردد. در کار حاضر با انتخاب توان مشعل ۷۵/۰۲ مگاوات که در محدوده کاری کوره‌های دوار است، سرعت سوخت با در داشتن ارزش حرارتی آن قابل محاسبه می‌باشد. ضمن اینکه باید به این نکته توجه داشت که عدد رینولدز جریان ورودی برای کوره‌های دوار معمولاً بالای ۱۰۵ است [۱۱]. بنابراین اندازه ورودی سوخت باید طوری تنظیم شود که رینولدز جریان ورودی در محدوده قابل قبول باشد. گام بعدی پس از تعیین سرعت و اندازه ورودی سوخت، محاسبه مقدار هوای لازم برای احتراق است. معمولاً کوره‌های دوار اضافی بین ۱۰٪ الی ۳۰٪ درصد کار می‌کنند [۱۵]. با توجه به اینکه هوای اضافی بیش از حد، باعث اتلاف گرمایی و کاهش بازدهی می‌شود بنابراین برای حالت شرایط کارکرد عادی به میزان ۱۰٪ هوای اضافی در نظر گرفته شده است. پس از تعیین مقدار هوای احتراقی، لازم است سهم هوای اولیه و ثانویه مشخص گردد. هوای اولیه به عنوان درصدی از هوای ورودی به کوره تعریف می‌شود که از طریق مشعل وارد می‌شود. هوای اولیه نیز معمولاً ۱۰٪ الی ۳۰٪ هوای لازم برای احتراق را تشکیل می‌دهد که برای شرایط کارکرد عادی این مقدار برابر ۲۰٪ در نظر گرفته شده است. مابقی هوای لازم برای احتراق نیز که از طریق سایر مجاری وارد کوره می‌شود، به عنوان هوای ثانویه تعریف می‌شود که با در دست داشتن اندازه مقطع ورودی، سرعت هوای ثانویه نیز تعیین می‌گردد. نکته قابل توجه دیگر این است که در این بررسی از ضخامت بین ورودی سوخت و هوای اولیه صرف‌نظر شده و ضخامت بین هوای اولیه و ثانویه نیز برابر ۵ سانتی‌متر در نظر گرفته می‌شود.

نکته قابل تأمل دیگر اندکی‌شدن پدیده‌های مختلف فیزیکی و در نتیجه ایجاد معادلات پیچیده ناشی از آن است که شبیه‌سازی را با محدودیت مواجه می‌کند. بخشی از این محدودیت‌ها را می‌توان با انجام فرضیات معقولی ساده کرد. یکی از منابعی که منجر به پیچیدگی کار در زمینه کوره‌های دوار می‌شود حضور مواد بستر می‌باشد. در اکثر کوره‌های دوار حدود ۱۵٪ از سطح کوره با مواد بستر پوشیده می‌شود [۱۶]. بر این اساس در کار حاضر مشابه کارهای پژوهشی انجام شده در این زمینه [۱۳] و [۱۴]، از تأثیر مواد بستر بر روی رفتار شعله مطالعه شده است. براساس مباحث ارائه شده در بخش اخیر کوره مورد مطالعه استوانه‌ای به قطر ۲ و طول ۲۰ متر است که مقطع ورودی آن در شکل ۲ نشان داده شده است. اندازه مقطع ورودی در جدول ۲ آمده است. شرایط مرزی مربوط به دما و سرعت در ورودی‌ها نیز مطالق جدول ۳ می‌باشد. دیواره کوره عایق در نظر گرفته شده و فشار در خروجی برابر فشار محیط می‌باشد.



شکل ۲- شرایط مرزی حاکم بر مسئله

جدول ۲- اندازه مقاطع ورودی

اندازه (m)	مقاطع
D <sub>1</sub> = ۰/۰۵	ورودی سوخت
D <sub>2</sub> = ۰/۰۸	ورودی هوای اولیه
D <sub>3</sub> = ۰/۱۸	دیواره مشعل
D <sub>4</sub> = ۲	ورودی هوای ثانویه

جدول ۳- شرایط مرزی کوره دوار

(K) دما (K)	سرعت محوری (m/s)	ورودی
۳۰۰	۴۵	سوخت
۳۰۰	۶۰/۳۱	هوای اولیه
۷۵۰	۱/۲۹	هوای ثانویه

## ۳- معادلات حاکم

معادلات حاکم بر مسئله شامل معادله بقای جرم، معادلات بقای مومنت، معادله بقای انرژی و معادلات بقای گونه‌ها است. در مجموعه معادلات ارائه شده علامت نشان‌دهنده متوسط‌گیری رینولدز و علامت نشان‌دهنده متوسط‌گیری جرمی است [۱۳].

## • معادله پیوستگی

$$\frac{\partial \bar{p}}{\partial t} + \frac{\partial}{\partial x_i} (\bar{p} \bar{u}_i) = 0 \quad (3)$$

## • معادله بقای مومنت

$$\frac{\partial(\bar{p}\bar{u}_i)}{\partial t} + \frac{\partial}{\partial x_i} (\bar{p}\bar{u}_i\bar{u}_j) = -\frac{\partial \bar{p}}{\partial x_i} + \frac{\partial}{\partial x_i} [\bar{\tau}_{ij} - \bar{\rho}u_i''u_j''] + \bar{\rho}g + S_{rot} \quad (4)$$

## • معادله بقای گونه‌ها

$$\frac{\partial}{\partial t} (\bar{\rho}\bar{Y}_k) + \frac{\partial}{\partial x_i} (\bar{\rho}\bar{u}_i\bar{Y}_k) = -\frac{\partial}{\partial x_i} (\bar{V}_{ki}\bar{Y}_k + \bar{\rho}u_i''\bar{Y}_k'') + \bar{\omega}_k ; k = 1, N \quad (5)$$

## • معادله بقای انرژی

$$\frac{\partial(\bar{\rho}\bar{h}_s)}{\partial t} + \frac{\partial}{\partial x_i} (\bar{\rho}\bar{u}_i\bar{h}_s) = \bar{\omega}_r + \frac{D\bar{p}}{Dt} + \frac{\partial}{\partial x_i} \left( \lambda \frac{\partial T}{\partial x_i} - \bar{\rho}u_i''h_s'' \right) + \frac{\partial u_i}{\partial x_i} - \frac{\partial}{\partial x_i} \left( \rho \sum_{k=1}^N V_{ki} Y_k h_{s,k} \right) + S_{rad} \quad (6)$$

در معادله (۶)  $\tau_{ij}$  تانسور لرجن و  $J$  جمله  $\bar{u}_i''\bar{u}_j''$  تنش رینولدز بوده که با استفاده از مدل توربولانسی مدل می‌شود. همچنین جمله  $S_{rot}$  استفاده اضافه شده استکه در بخش ۴-۳ توضیحات تکمیلی آن ارائه شده است. در معادله (۵) جمله  $\bar{V}_{ki}\bar{Y}_k$  نشان‌دهنده شار نفوذی لایه ای بوده و به صورت رابطه (۷) مدل می‌شود:

محدودیت‌های ریاضی خاصی را در تنش‌های رینولدزی مطابق با فیزیک جریان‌های آشفته ارضا می‌کند. این مدل عملکرد بهتری برای جریان‌های شامل چرخش‌لایه‌های مرزی تحت گرادیان‌های فشارمعکوس شدید، جدایی و بازچرخش دارد. در این مدل برخلاف k-e استاندارد مقدار  $C_e$  دیگر ثابت نبوده و تابعی از مانگین نرخ کرنش و چرخش، سرعت چرخشی سیستم و پارامترهای آشفتگی  $k$  و  $\epsilon$  است. در این مدل معادله انتقال انرژی  $k$  همانند مدل k-e استاندارد و به صورت رابطه بوده (۱۲) و معادله انتقال  $\epsilon$  نیز به فرم رابطه (۱۳) بیان می‌گردد [۲۱] که برای مدل کردن تنش‌های رینولدزی به معادلات حاکم اضافه می‌شوند.

$$\frac{\partial(\bar{\rho}k)}{\partial t} + \frac{\partial}{\partial x_i}(\bar{\rho}\bar{u}_i k) = \frac{\partial}{\partial x_i} \left[ \left( \mu + \frac{\mu_t}{\sigma_k} \right) \frac{\partial k}{\partial x_i} \right] + P_k - \bar{\rho}\epsilon \quad (12)$$

$$\begin{aligned} \frac{\partial(\bar{\rho}\epsilon)}{\partial t} + \frac{\partial}{\partial x_i}(\bar{\rho}\bar{u}_i \epsilon) &= \frac{\partial}{\partial x_i} \left[ \left( \mu + \frac{\mu_t}{\sigma_\epsilon} \right) \frac{\partial \epsilon}{\partial x_i} \right] C_{\epsilon 1} \frac{\epsilon}{k} P_k \\ &- \bar{\rho} C_2 \frac{\epsilon^2}{k + \sqrt{v\epsilon}} \end{aligned} \quad (13)$$

در این روابط  $P_k$  جمله تولید انرژی جنبشی اغتشاشی است که به صورت رابطه (۱۴) تعریف می‌شود و  $C_{\epsilon 1}$  و  $C_2$  ثوابت تجربی می‌باشد.

$$P_k = -\bar{\rho} \bar{u}_i'' \bar{u}_j'' \frac{\partial \bar{u}_i}{\partial x_j} \quad (14)$$

## ۲-۲- مدل‌سازی احتراق و تابش

در معادلات متوسط‌گیری شده لازم است که با در نظر گرفتن فرضیاتی جمله بقای گونه‌ها  $\bar{\omega}_T$  مدل شود، مدل‌های مختلفی با این هدف ارائه شده‌اند که در تحقیق حاضر از مدل احتراقی واکنش گاه نیمه مخلوط<sup>۱</sup> استفاده شده است. مدل احتراقی واکنشگاه نیمه مخلوط در سال ۱۹۹۳ توسط کورا [۲۲] برای احتراق پیش مخلوط و در سال ۱۹۹۷ توسط چن [۲۳] برای احتراق غیر پیش آمیخته توسعه داده شد [۲۴]. با توجه به اینکه مدل‌سازی کوپلینگ بین توربولنس و احتراق در مواردی که شامل برهم‌کنش شدید شیمی-توربولنس باشد، ضروری است [۲۵] در این مدل تأثیر هر دو پارامتر اختلاطی و سینتیک‌های شیمیایی در فرایند احتراق اعمال می‌گردد. اساس کار مدل واکنش گاه نیمه مخلوط به این صورت است که در آن هر سلول واکنشی به دو ناحیه یکنواخت واکنشی و غیر واکنشی تقسیم می‌شود [۲۵] و [۲۶].

علاوه بر این ناحیه واکنشی به عنوان یک راکتور اختلاط همگن عمل می‌کند (فرض می‌شود که هر گونه‌ای به طور کامل با گونه‌های دیگر مخلوط شده است). این به ما اجازه می‌دهد که از هر نوسانی به هنگام محاسبه جمله‌های چشم‌های شیمیایی صرف‌نظر کنیم [۲۶]. در این روش اثرات پیچیده شیمی، جدایش‌های بزرگ مقیاس و تأثیرات اختلاط میکرو در نظر گرفته می‌شود و تنها از اثرات غیریکنواختی اختلاط مولکولی در ناحیه واکنشی صرف‌نظر می‌شود [۲۵]. نرخ واکنش متوسط گونه‌ی  $k\alpha$  در معادله بقای گونه‌ها از رابطه (۱۵) بدست می‌آید [۲۷].

$$\frac{c_k^1 - c_k^0}{dt} = \bar{\omega}_r = \kappa^* \omega_k \quad (15)$$

<sup>۱</sup>Strain

<sup>۲</sup>Partially Stirred Reactor (PaSR)

$$\overline{\frac{V_{ki} Y_k}{V_{ki} Y_k}} = -\rho D_k \frac{\partial Y_k}{\partial x_i} \approx -\bar{\rho} \bar{D}_k \frac{\partial \bar{Y}_k}{\partial x_i} \quad (7)$$

که در آن  $\bar{D}_k$  ضریب نفوذ مولکولی متوسط گونه و جمله  $\bar{\rho} u_i'' Y_k''$  شار توربولنسی مربوط به گونه‌های است که با فرض زیر به فرم بسته در می‌آید.

$$\bar{\rho} u_i'' Y_k'' = -\frac{\mu_t}{Sc_{kt}} \frac{\partial \bar{Y}_k}{\partial x_i} \quad (8)$$

در معادله (۸)  $\bar{\omega}_T$  گرمای آزاد شده از احتراق بوده و به صورت رابطه (۹) محاسبه می‌شود [۱۸]:

$$\bar{\omega}_T = \sum_{k=1}^N \bar{\omega}_k \Delta h_{f,k}^0 \quad (9)$$

ترم  $\frac{\partial T}{\partial x_i}$  شار نفوذ گرمایی لایه ای برای آنتالپی بوده و به صورت رابطه (۱۰) بازنویسی می‌شود و  $\bar{\omega}_T$  نفوذ گرمایی متوسط است.

$$\frac{\partial T}{\partial x_i} = \bar{\lambda} \frac{\partial \bar{T}}{\partial x_i} \approx \frac{\bar{\lambda}}{C_p} \frac{\partial \bar{h}_s}{\partial x_i} = \frac{\mu}{Pr} \frac{\partial \bar{h}_s}{\partial x_i} \quad (10)$$

عبارت  $\bar{u}_i'' h_s''$  شار اغتشاشی آنتالپی بوده و به صورت رابطه (۱۱) برآورد می‌شود:

$$\bar{u}_i'' h_s'' = \bar{\rho} \bar{u}_i'' \bar{h}_s'' = -\frac{\mu_t}{Pr_t} \frac{\partial \bar{h}_s}{\partial x_i} \quad (11)$$

عبارت  $T_{ij} \frac{\partial u_i}{\partial x_j}$  جمله چشم‌های از لزجت گرمایی بوده که مقدار ناجیزی داشته و از آن صرف نظر می‌شود [۱۸]. جمله  $\frac{\partial}{\partial x_i} \left( \rho \sum_{k=1}^N V_{ki} Y_k h_{s,k} \right)$  ناشی از نفوذ گونه‌های با آنتالپی‌های متفاوت بوده و معمولاً از این جمله در مقابل  $\bar{\omega}_T$  صرف نظر می‌شود. درنهایت عبارت  $S_{rad}$  نیز جمله مربوط به چشم‌های تابشی است که می‌باشد مدل گردد. بسته به اینکه چه مدل‌هایی برای توصیف اغتشاش، احتراق و تابش در نظر گرفته شده باشند، معادلاتی به مجموعه معادلات بالا اضافه شده تا دستگاه معادلات بسته شوند.

## ۳-۱- مدل سازی توربولنس

با توجه به ماهیت آشفته بسیاری از جریان‌های طبیعی و مهندسی و تأثیر آن بر روی پدیده‌های فیزیکی، مطالعه آشفتگی از اهمیت بسیار بالای برخوردار است. تا به امروز هیچ مدل جامعی ارائه نشده است که بتوان از آن در تمام جریان‌های مهندسی و یا حتی در تمام نقاط از یک میدان جریان آشفته با دقت قابل قبول استفاده کرد [۱۹]. روش‌های مختلفی برای شبیه‌سازی جریان‌های آشفته بکار گرفته می‌شود. مهم‌ترین این روش‌ها، استفاده از معادلات متوسط‌گیری شده زمانی ناویر استوکس<sup>۲</sup>، متوسط‌گیری مکانی با استفاده از فیلتر یا روش گردابهای بزرگ و شبیه‌سازی مستقیم عددی<sup>۳</sup> هستند. در روش استفاده از معادلات متوسط‌گیری شده زمانی ناویر استوکس، تمامی گردابهای مدل می‌شوند و زمان حل کمتری نسبت به دو روش دیگر دارد [۲۰]. در تحقیق حاضر از مدل توربولنسی k-e realizable استفاده شده است. مدل k-e realizable یک فرم متفاوت و نسبتاً توسعه یافته از مدل k-e استاندارد است که دارای دو راهکار مهم می‌باشد: (۱) فرمول‌بندی جدید برای لزجت توربولنسی. (۲) معادله انتقال جدید برای نرخ اتلاف  $\epsilon$ . اصطلاح realizable این معناست که مدل

<sup>1</sup>Reynolds Averaged Navier-Stokes (RANS)

<sup>2</sup>Direct Numerical Simulation (DNS)

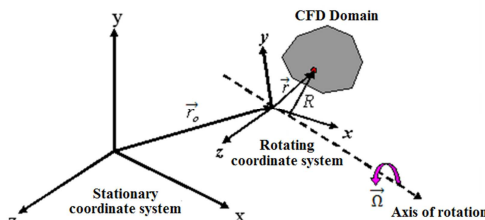
$$\text{خاکستری و بدون پراکندگی به صورت معادله زیر ساده می‌شود} [۳۱].$$

$$q = -\frac{1}{3\kappa_\lambda} \nabla G \quad (۲۱)$$

$$\nabla \cdot \left( \frac{1}{3\kappa_\lambda} \nabla G \right) = \kappa G - 4\kappa\sigma T^4 \quad (۲۲)$$

### ۳-۳-۳- اعمال شرط مرزی دورانی

با توجه به اهداف کار حاضر لازم است که دیواره کوره دارای سرعت دورانی باشد اما این شرط مرزی برای حلگر ریاکتینگ فوم تعریف نشده است به این منظور در کار حاضر با اضافه کردن جمله چشمی به معادله مومنتم امکان اعمال اثر دوران به حلگر ریاکتینگ فوم اضافه شده است. مطابق شکل ۳ سیستم مختصاتی دورانی که به اندازه ۰ از سیستم مختصات ثابت فاصله دارد، فرض می‌شود.



شکل ۳- سیستم مختصات دورانی [۳۰]

مطابق شکل ۳ دامنه حل با سرعت زاویه‌ای  $\vec{\Omega}$  نسبت به محور دورانی می‌چرخد. بر این اساس سرعت نسبی  $\vec{u}_R$  به صورت  $\vec{u}_R = \vec{\Omega} \times \vec{r}$  تعریف می‌شود که در آن  $\vec{u}_R = \vec{\Omega} \times \vec{r}$  و  $\vec{\Omega} = \vec{\Omega}_R$  به ترتیب بیانگر سرعت مطلق، شعاع و سرعت دورانی می‌باشد. با تعریف سرعت نسبی، معادلات حاکم براساس سرعت نسبی پایه‌ریزی شده و یک جمله چشمی ناشی از سرعت دورانی به صورت رابطه (۲۳) به معادله مومنتم اضافه می‌گردد. ترم چشمی مذکور شامل دو جمله از جنس شتاب است، جمله مربوط به کوریولیس  $\vec{\omega}_R$  به فرم  $\vec{\omega}_R = \vec{\Omega} \times \vec{r}$  و جمله گریز از مرکز به فرم  $(\vec{r} \times \vec{\Omega}) \times \vec{\Omega}$  که منشأ هر دو دوران می‌باشد [۳۱].

$$S_{\text{rot}} = -\bar{\rho}[(2\vec{\Omega} \times \vec{u}_R) + (\vec{\Omega} \times (\vec{\Omega} \times \vec{r}))] \quad (۲۳)$$

## ۴- حل عددی

شبیه‌سازی حاضر با استفاده از حلگر ReactingFOAM مربوط به نرم‌افزار مت بنابر آین فوم انجام شده است. این حلگر در حالت پیش‌فرض تابش و سرعت دورانی را اعمال نمی‌کند و این دو قابلیت به این حلگر اضافه گردیده است. در کار حاضر برای گستته سازی جمله‌های جایه‌جایی در معادلات بقای مومنتم، انرژی و گونه‌ها از روش بالا درست<sup>۳</sup> استفاده شده است. گستته سازی کلیه‌ی جمله‌های زمانی با روش اول مرتبه‌ی یک و کلیه‌ی میان‌بابی‌ها به صورت خطی انجام شده است. با توجه به اینکه در کارهای عددی معادلات به صورت گستته حل می‌شوند، یک موضوع مهم بررسی عدم وابستگی نتایج به اندازه شبکه می‌باشد. نمودار مقایسه نتایج توزیع دما بر روی خط مرکزی برای سه

$$\kappa^* = \frac{\tau}{\tau + \tau_{\text{mix}}} \quad (۱۶)$$

در واقع زمان واکنش شیمیایی و  $\tau_{\text{mix}}$  زمان اختلاط میکرو شکست گردیده) را نشان می‌دهد [۲۵].

در این روابط<sup>۴</sup> غلظت متوسط ورودی به سلول است که ممکن است غلظت متوسط اولیه هر سلول باشد. غلظت در ناحیه واکنشی در ریزسلول بوده که نامشخص است،<sup>۵</sup> غلظت متوسط غلظت در کل سلول می‌باشد و به صورت واکنشی و برابر با متوسط غلظت در کل سلول می‌باشد و به صورت رابطه (۱۷) محاسبه می‌شود که  $\kappa^*$  کسر جرمی مخلوط واکنشی است [۲۶].

$$c^1 = \kappa^* c + (1 - \kappa^*) c^0 \quad (۱۷)$$

اگر زمان کل خیلی بزرگ‌تر از زمان اختلاط توربولانسی باشد ( $\tau \gg \tau_{\text{mix}}$ ) می‌توان نتیجه گرفت که  $\kappa^* \approx 1$  در این حالت کل راکتور دارای واکنش خواهد بود. با معلوم شدن کسر واکنشی  $\kappa^*$  پارامتر  $\tau_{\text{mix}}$  مجهول  $c$  حذف شده و  $c_1$  بدست می‌آید [۲۵]. به طور کلی انتخاب  $\tau_{\text{mix}}$  وابستگی زیادی به جریان و مکانیزم‌های شیمیایی مورداستفاده دارد. در حل گر مورداستفاده رابطه (۱۸) (زیر برای محاسبه‌ی استفاده شده است) [۲۹].

$$\tau_{\text{mix}} = C_{\text{mix}} \sqrt{\frac{\mu_{\text{eff}}}{\bar{\rho}\epsilon}} \quad (۱۸)$$

که در آن  $\mu_{\text{eff}}$  لزجت مؤثر و  $C_{\text{mix}}$  ضریب ثابتی است که می‌تواند مقداری در حدود  $100-1000$  داشته باشد [۲۶]. برای محاسبه مقیاس زمانی واکنش کلی با توجه به گونه‌ای که غلظت متوسط‌گیری شده کوچکتری داشته باشد (گونه محدود‌کننده) می‌توان از رابطه (۱۹) استفاده کرد.

$$\frac{1}{\tau_{\text{ch}}} = \max \left\{ \frac{-\tilde{\omega}_{\text{Fuel}}}{\bar{\rho}}, \frac{-\tilde{\omega}_{\text{O}_2}}{\bar{\rho}} \right\} \quad (۱۹)$$

انتقال گرما تابشی اغلب در بیشتر مسائل مهندسی با دمای متوسط که در آن‌ها انتقال گرمابجاگایی غالب است، صرف‌نظر می‌شود. اما در سیستم‌های احتراقی که در آن‌ها واکنش‌های شیمیایی دمای کاری را به طور جدی بالا می‌برد، مرتبه انتقال گرمایی تابشی با مرتبه انتقال گرمایی جابجایی قابل مقایسه بوده و در فرایند انتقال گرمایی نقش مهمی را ایفا می‌کند حلگر ریاکتینگ فوم<sup>۶</sup> در حالت پیش‌فرض تابش را اعمال نمی‌کند و این قابلیت با اضافه کردن جمله چشمی به معادله انرژی، به حلگر ریاکتینگ فوم اضافه گردیده است. جمله چشمی معادله انرژی براساس تلفات گرمایی تابشی به صورت رابطه (۲۰) بدست می‌آید [۳۰]:

$$S_{\text{rad}} = -\nabla \cdot q = \kappa G - 4\kappa\sigma T^4 \quad (۲۰)$$

در رابطه (۲۰)  $\sigma$  ثابت استفان-بولتزمن و  $\kappa$  نیز ضریب جذب می‌باشد. در تحقیق حاضر از مدل تابشی P1 استفاده شده است. روش هارمونیک کروی امکان حلی تقریبی با مرتبه‌ای دلخواه از دقت را به وسیله تبدیل معادله انتقال تابشی به مجموعه‌ای از معادلات دیفرانسیل با مشتقهای جزئی فراهم می‌نماید. مزیت اصلی این روش در واقع تبدیل معادله حاکم به معادلات همراه با مشتقهای جزئی نسبتاً ساده می‌باشد [۳۰]. در تقریب P1 معادله انتقال گرمایی تابشی برای محیط

<sup>3</sup> Coriolis

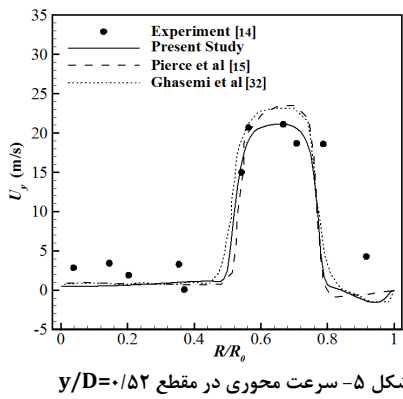
<sup>4</sup> Centrifugal

<sup>5</sup> Upwind

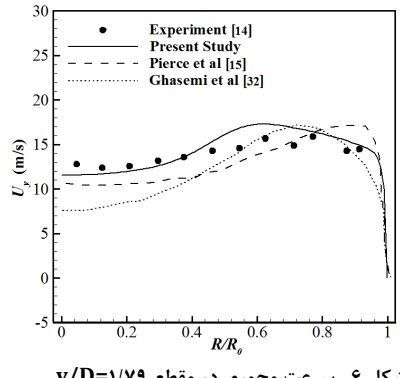
<sup>1</sup> Limiting Specie

<sup>2</sup> ReactingFoam

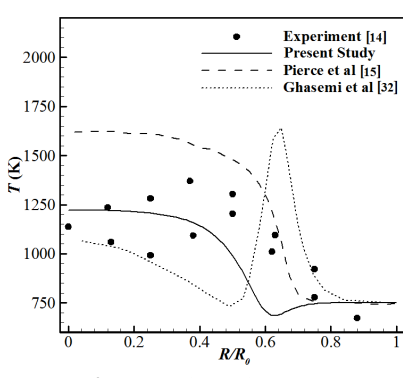
در شکل ۸ توزیع دمایی در مقطع  $y/D=1/99$  نشان داده است که در این مقطع نیز نتایج کار حاضر همخوانی مناسبی با داده‌های تجربی دارد. بر این اساس اعتبار روش‌ها و مدل‌های مورد استفاده در این بخش، تأیید شده و در نهایت به شبیه‌سازی کوره دوار بر اساس این مدل‌ها پرداخته می‌شود.



شکل ۵- سرعت محوری در مقطع  $y/D=1/52$



شکل ۶- سرعت محوری در مقطع  $y/D=1/79$



شکل ۷- دما در مقطع  $y/D=1/34$

شبکه محاسباتی برای مسئله معیار در شکل ۴ نشان داده شده است. با توجه به تشابه الگوی رفتاری دو سلول محاسباتی با تعداد ۱۹۴۹۲۰ و ۲۹۴۰۰۰ در مقایسه با مورد دیگر و اختلاف ناچیز نتایج این دو حالت، سلول محاسباتی با تعداد ۱۹۴۹۲۰ به عنوان حالت مستقل از شبکه انتخاب شده است.

استقلال از شبکه کوره دوار نیز با سه شبکه محاسباتی با تعداد ۴۹۹۹۶۸، ۲۵۲۵۴۰ و ۴۹۹۷۵۶۰ در مقاطع مختلف انجام شده و در نهایت تعداد سلول محاسباتی ۴۹۹۹۶۸ به عنوان حالت مستقل از شبکه انتخاب شده است.

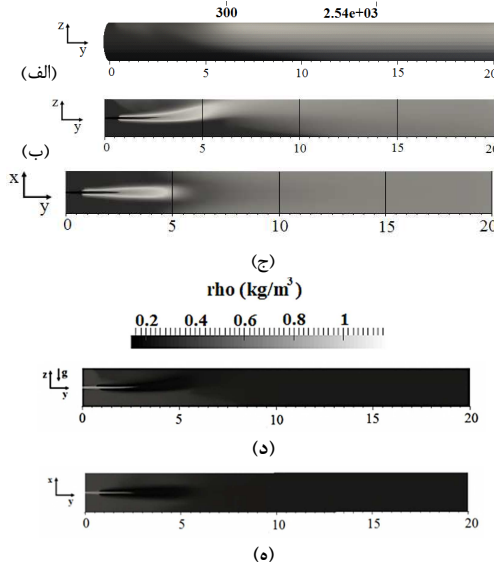
## ۵- نتایج

نتایج در دو بخش مجزا برای مسئله معیار جهت اعتبارسنجی روش‌های مورد استفاده و برای کوره دوار جهت ارائه می‌گردد.

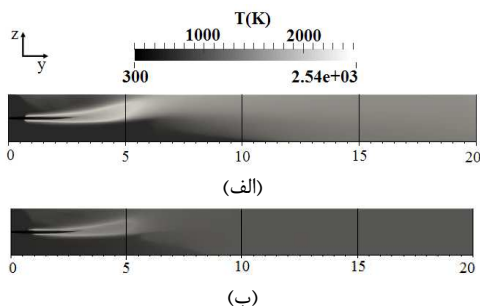
### ۱-۱- اعتبارسنجی براساس مسئله معیار

در این بخش نتایج مربوط به مسئله معیار جهت اعتبارسنجی روش‌ها و مدل‌های مورد استفاده در شبیه‌سازی ارائه شده است. براساس بررسی‌های انجام شده در این شبیه‌سازی از مدل توربولانسی realizable k-ε مدل احتراقی واکنشگاه نیمه مخلوط و مدل تشبعی P1 استفاده شده است. نتایج حاصل برای توزیع دما و سرعت در مقاطع مختلف در شکل‌های ۵ تا ۸ و در مقایسه با داده‌های تجربی و مراجع [۱۵] و [۳۲] که مربوط به کار پیرس و قاسمی می‌باشد، ارائه شده است. در کار قاسمی از مدل احتراقی EDC با خاموشی موضعی و مدل‌های توربولانسی مختلف RANS همراه با در نظر گرفتن اثر تابش با استفاده از مدل P1 استفاده شده است؛ در حالیکه در مطالعه انجام شده توسط پیرس از مدل آشفتگ شبیه‌سازی گردابهای بزرگ، مدل احتراقی Prgress Variable k-ε استفاده شده است. در شکل ۵ سرعت محوری در مقطع مرحله‌ای استفاده شده است. در این مقطع دمای مرکز کوره دارای  $y/D=0/052$  نشان داده شده است ( $D = R_0$ ). نتایج کار حاضر در مقایسه با دو شعاع محفظه احتراق می‌باشد. که نتایج کار حاضر در مقایسه با دو کار دیگر بیشینه سرعت را بهتر پیش‌بینی کرده است. بر اساس نتایج بیشینه سرعت در نسبت  $R/R_0$  ۰.۶۶۷ اتفاق می‌افتد که در این نسبت کار حاضر دارای خطای نسبی ۸٪ و دو کار پیرس و قاسمی به ترتیب دارای خطای نسبی متوسط ۷٪ و ۱۴٪ هستند. در شکل ۶ نیز سرعت محوری در مقطع  $y/D=1/79$  نشان داده شده است. در این مقطع نتایج کار حاضر، پیرس و قاسمی در مقایسه با داده‌های تجربی به ترتیب دارای خطای نسبی متوسط ۷٪ و ۱۷٪ می‌باشند که کار حاضر پیش‌بینی مناسب‌تری را از رفتار جریان ارائه می‌دارد. با توجه به اهمیت پیش‌بینی مناسب‌تری در مسائل احتراقی، در شکل ۷ توزیع دمایی در مقطع  $y/D=0/34$  نشان داده شده است که در این مقطع نیز نتایج کار حاضر، پیرس و قاسمی در مقایسه با داده‌های تجربی به ترتیب دارای خطای نسبی متوسط ۱۶٪، ۲۶٪ و ۲۳٪ می‌باشند که کار حاضر پیش‌بینی مناسب‌تری داشته است. طبیعتاً بخشی از اختلاف نتایج به خطای اندازه‌گیری کار تجربی مربوط می‌شود. اختلاف میان نتایج بدست آمده در مطالعات عددي نیز مربوط به مدل‌های آشفتگی و احتراقی مختلفی است که در آن‌ها مطابق آنچه بیان شد، به کار گرفته شده است.

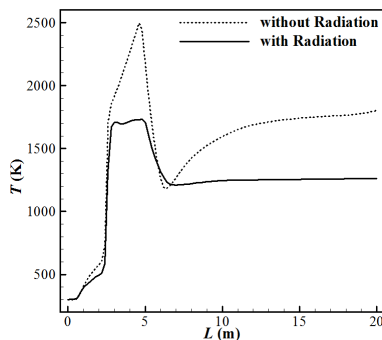
باهم مقایسه شده است.



شکل ۹- تأثیر گرانش بر توزیع دمای کوره (الف) کانتور حالت سه بعدی  
ب) کانتور دما بر روی صفحه  $xy$  (جy) کانتور دما بر روی صفحه  $xy$   
(د) کانتور چگالی بر روی صفحه (e) کانتور چگالی بر روی صفحه  $xy$

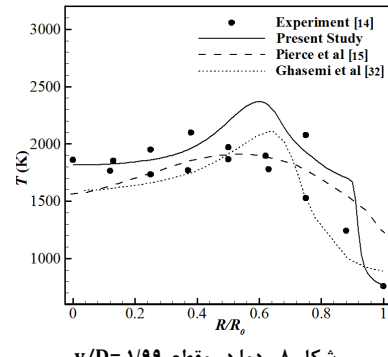


شکل ۱۰- تأثیر تابش بر کانتور دما بر روی صفحه  $zy$  (الف) بدون تابش  
(ب) با تابش



شکل ۱۱- تأثیر اعمال تابش بر روی دمای خط مرکزی

نتایج نشان دهنده تأثیر قابل توجه انتقال گرمای تابشی می باشد که از جمله دلایل این امر می توان به برخورد شعله به دیواره اشاره کرد. با برخورد شعله به دیواره کوره، دمای دیواره به مقدار قابل توجهی افزایش



شکل ۸- دما در مقطع  $y/D = 1/99$

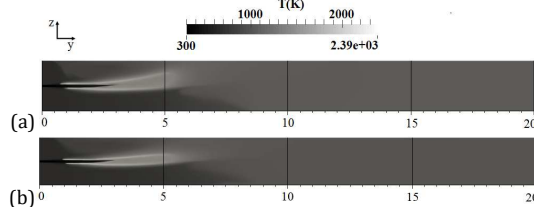
## ۲-۵- شبیه سازی کوره دوار

همان طور که پیشتر نیز اشاره شد، به دلیل مشکلات انجام کار تجربی بر روی کوره های دوار و در دسترس نبودن داده های تجربی در این زمینه، در کار حاضر پس از اعتبارسنجی روش ها و مدل های مورد استفاده در حل مسئله در بخش اول، نهایتاً به شبیه سازی کوره دوار پرداخته شده است. همچنین لازم به ذکر است که اکثر پژوهش های انجام شده با صرفنظر از تأثیر شتاب گرانش به صورت متقارن محوری انجام شده اند. اما در کار حاضر با صرف هزینه محاسباتی بالاتر شبیه سازی به صورت سه بعدی انجام گرفته و تأثیر شتاب گرانش نیز بررسی شده است.

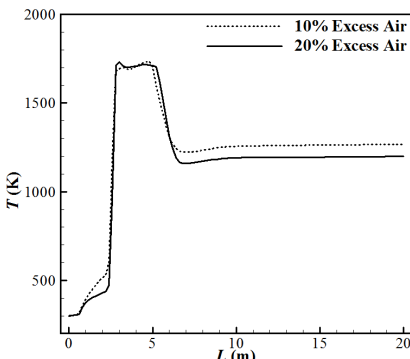
مطابق مباحث مطرح شده در بخش ۲-۲ نتایج مربوط به حالت کار کرد عادی که شامل  $10\%$  هوای اضافی و  $20\%$  هوای اولیه می باشد، در این قسمت ارائه شده است. نتایج توزیع دمایی مربوط به این حالت در شکل ۹ ارائه شده است. شکل ۹-الف مربوط به توزیع دمای دیواره کوره است که در بخشی از قسمت فوقانی کوره دما نسبتی بالا می باشد. دلیل این افزایش دما انحراف شعله به سمت بالاست که در شکل ۹-ب نشان داده شده است این کانتور مربوط به صفحه  $zy$  گذرنده از مرکز کوره می باشد. لازم به ذکر است که گرانش در جهت  $-z$  اعمال شده است و دلیل انحراف شعله به سمت بالا، حضور گرانش و اختلاف چگالی گازهای گرم و سرد می باشد. این موضوع سبب می شود که گازهای گرم به علت چگالی کمتر به سمت دیواره بالایی کوره حرکت کنند (در شکل ۹- د تأثیر جاذبه بر جا بایی گازهای گرم و سرد را به خوبی نشان می دهد). در شکل ۹-ج نیز کانتور مربوط به صفحه  $xy$  گذرنده از مرکز کوره نشان داده شده است که دارای رفتاری متقارن است. از مقایسه کانتورهای دما در صفحات  $zy$  و  $zx$  تأثیر اعمال شتاب گرانش به صورت واضح مشخص است که منجر به انحراف شعله به سمت بالا شده و این تغییر با حرکت در جهت طولی بیشتر می شود. برخورد شعله با دیواره می تواند منجر به افزایش تلفات گرمایی از دیواره و همچنین آسیب به آن گردد.

با توجه به نقش قابل توجه انتقال گرمای تابشی در سیستم های دما بالا، در مرحله بعدی به بررسی تأثیر اعمال مدل تابشی در این شبیه سازی پرداخته شده است. مطابق شکل ۱۰ کانتور دمایی در دو حالت همراه و بدون تابش در صفحه  $zy$  باهم مقایسه شده است. مطابق نتایج بدست آمده اعمال تابش منجر به کاهش دمای بیشینه کوره شده و دما کوره یکنواخت ترمی شود. همچنین توزیع دمایی در طول کوره و بر روی خط مرکزی در شکل ۱۱ برای دو حالت همراه و بدون تابش

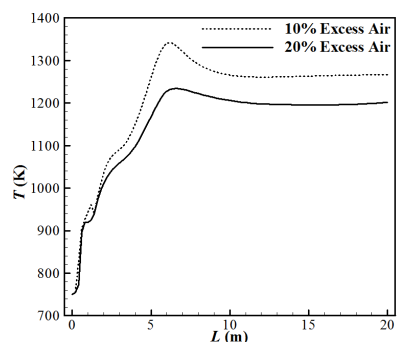
همانطور که پیشتر نیز اشاره شد، برای شرایط کارکرد عادی، ۱۰% هوای اضافی در نظر گرفته شده است. به منظور بررسی تأثیر درصد هوای ثانویه بر روی توزیع دمایی و ساختار کلی شعله در این مرحله با در نظر گرفتن درصد هوای اضافی %۲۰ به این بررسی پرداخته شده است. با تغییر درصد هوای اضافی به %۲۰ سرعت هوای اولیه و ثانویه به ترتیب برابر  $65/80$  و  $1/40.5$  متر بر ثانیه می‌شود. به این ترتیب با افزایش سرعت هوای اولیه و ثانویه مطابق شکل ۱۴ عرض شعله جمع‌تر می‌گردد و در نتیجه از دیواره کوره فاصله می‌گیرد. در شکل ۱۵ و ۱۶ به ترتیب تأثیر هوای اضافی بر روی دمای خط مرکزی و دیواره کوره نشان داده شده است. مطابق شکل ۱۵ با افزایش درصد هوای اضافی، دمای کلی کوره کاهش می‌یابد که دلیل آن جذب گرمای حاصل از احتراق توسط هوای اضافی ورودی به کوره است. در شکل ۱۶ نیز مشاهده می‌شود که با افزایش درصد هوای اضافی، دما در مجاورت دیواره بالایی در طول کوره کم شده و همچنین بیشینه دمایی در این ناحیه نیز حدود ۸٪ کاهش می‌یابد که دلیل آن حضور هوای اضافی و افزایش سرعت هوای ورودی به کوره می‌باشد.



شکل ۱۴- تأثیر هوای اضافی بر توزیع دما (الف) استفاده از ۲۰ درصد هوای اضافی (ب) استفاده از ۱۰ درصد هوای اضافی



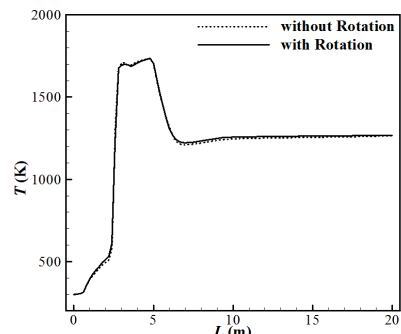
شکل ۱۵- تأثیر درصد هوای اضافی بر روی دمای خط مرکزی



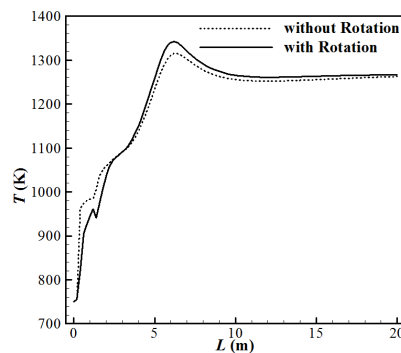
شکل ۱۶- تأثیر هوای اضافی بر روی دما در مجاورت دیواره بالایی

یافته و با توجه به سهم بالای انتقال گرمای تابشی از دیواره نتایج بدست آمده قابل توجیه است.

یکی دیگر از پارامترهای مورد بررسی در تحقیق حاضر تأثیر سرعت دورانی کوره بر روی توزیع داخل کوره می‌باشد. سرعت دورانی کوره‌های دوار معمولاً بین ۲ الی ۳ دور بر دقیقه می‌باشد [۱]. در آنچه مطالعات عددی برای سادگی کار و به دلیل نسبت مونتم مونتم بالای جریان محوری حاکم بر کوره، از تأثیر دوران بر روی الگوی جریانی داخل کوره صرف‌نظر شده است. در کار حاضر با اعمال یک سرعت دورانی نسبتاً بالا در محدوده مورد استفاده برای کوره‌های دوار که برابر با  $5/5$  دور بر دقیقه می‌باشد به بررسی تأثیر دوران بر روی الگوی جریانی و در نتیجه توزیع دمایی داخل کوره پرداخته شده است. لازم به ذکر است که در حلگر ReactingFOAM به طور پیش‌فرض امکان استفاده از شرط مرزی دورانی وجود ندارد و در کار حاضر این قابلیت با افزودن ترم چشم به معادله مومنت، صورت گرفته و حلگر مورد استفاده ارتقا یافته است. به منظور این مقایسه نمودارهای توزیع دما بر روی خط مرکزی و در مجاورت دیواره بالایی کوره مطابق شکل ۱۲ مقایسه شده است. نتایج بدست آمده نشان‌دهنده تأثیر ناچیز دوران بر روی دمای خط مرکزی می‌باشد. همچنین در حالت همراه با دوران، مطابق شکل ۱۳ دما در مجاورت دیواره بالایی دما به طور متوسط حدود ۱٪ افزایش یافته است. دلیل این امر را این چنین می‌توان بیان داشت که دوران کوره مجرب به افزایش اختلاط میان گازهای مجاور دیواره با محدوده تشکیل شعله گردیده و در نتیجه این موضع دما در ناحیه مجاور دیواره افزایش می‌یابد. براساس نتایج بدست آمده در این بخش، می‌توان بیان داشت که در مواردی که از جنس دیواره و تأثیر مواد بستر صرف‌نظر می‌شود، می‌توان از تأثیر دوران بر روی توزیع دمایی کوره نیز صرف‌نظر کرد.



شکل ۱۲- تأثیر اعمال دوران بر روی دمای خط مرکزی



شکل ۱۳- تأثیر اعمال دوران بر روی دما در مجاورت دیواره بالایی

## ۶- جمع‌بندی

- در کار حاضر به مطالعه رفتار توزیع دمایی در کوره‌های دوار پرداخته شده است. در گام اول با توجه به عدم دسترسی به داده‌های آزمایشگاهی در زمینه کوره‌های دوار، روش‌ها و مدل‌های مناسب براساس مسئله معیار اعتبارسنجی شده‌اند. در نهایت مطابق برسی‌های انجام شده در بخش اول، شبیه‌سازی کوره دوار با استفاده مدل توربولانسی  $k-\epsilon$  realizable مدل احترافی واکنشگاه نیمه مخلوط، مدل تابشی P1 انجام گرفته است. مطابق نتایج بدست آمده در نظر گرفتن شتاب گرانش در شبیه‌سازی منجر به انحراف شعله به سمت دیواره فوقانی کوره می‌شود. برخورد شعله با دیواره منجر به خسارت عایق دیواره می‌شود. تأثیر در نظر گرفتن انتقال گرمای تابشی در کار حاضر نشان‌دهنده اهمیت بالای مکانیزم انتقال گرمای تابشی در شرایط حاکم بر مسئله مورد مطالعه است. نتایج بررسی تأثیر دوران نشان می‌داد که دوران دیواره تأثیر محسوسی بر روی میدان دمایی داخل کوره دارد که ضمن اینکه با اعمال دوران افزایش ناچیزی بر روی دمای دیواره کوره مشاهده می‌شود. مباحث مطرح شده در واقع میزان اهمیت پارامترهای مختلف در شبیه‌سازی کوره‌های دوار را مشخص می‌نماید. در نهایت با بهره‌گیری از دستاوردهای بخش شبیه‌سازی در کار حاضر، تأثیر میزان هوای اضافی بر روی توزیع دمایی کوره نیز به لحاظ کاربردی مورد مطالعه قرار گرفت که نتایج حاصل نشان‌دهنده کاهش دمای کوره و بیشینه دمایی دیواره کوره با افزایش درصد هوای اضافی در محدوده مورد بررسی می‌باشد. اهمیت این موضوع از آن جهت است که با کاهش دمای دیواره خسارت وارد به عایق دیواره و همچنین تلفات گرمایی از دیواره کوره کاهش می‌یابد.

## ۷- مراجع

- [1] Boateng A. A., *Rotary kilns: transport phenomena and transport processes*: Butterworth-Heinemann, 2015.
- [2] Elattar H., Specht E., Fouda, A. S. Bin-Mahfouz, CFD modeling using PDF approach for investigating the flame length in rotary kilns, *Heat and Mass Transfer*, Vol. 52, No. 12, pp. 2635-2648, 2016.
- [3] Peray, Kurt E., and Joseph J. Waddell. *The rotary cement kiln*. Vol. 139. Edward Arnold, 1986.
- [4] Elattar H., Stanev R., Specht E., Fouda A., CFD simulation of confined non-premixed jet flames in rotary kilns for gaseous fuels, *Computers & Fluids*, Vol. 102, pp. 62-73, 2014.
- [5] Jenkins B., Mullinger P., *Industrial and process furnaces: principles, design and operation*: Butterworth-Heinemann, 2011.
- [6] Alyaser A. H., *Fluid flow and combustion in rotary kiln*, Thesis, University of British Columbia, 1998.
- [7] Mastorakos E., Massias A., Tsakiroglou C., Goussis D., Burganos V., Payatakes A., CFD predictions for cement kilns including flame modelling, heat transfer and clinker chemistry, *Applied Mathematical Modelling*, Vol. 23, No. 1, pp. 55-76, 1999.
- [8] Mujumdar K. S., Ranade V. V., CFD modeling of rotary cement kilns, *Asia-Pacific Journal of Chemical Engineering*, Vol. 3, No. 2, pp. 106-118, 2008.
- [9] Liu X. Y., Specht E., Temperature distribution within the moving bed of rotary kilns: Measurement and analysis, *Chemical Engineering and Processing: Process Intensification*, Vol. 49, No. 2, pp. 147-150, 2010.